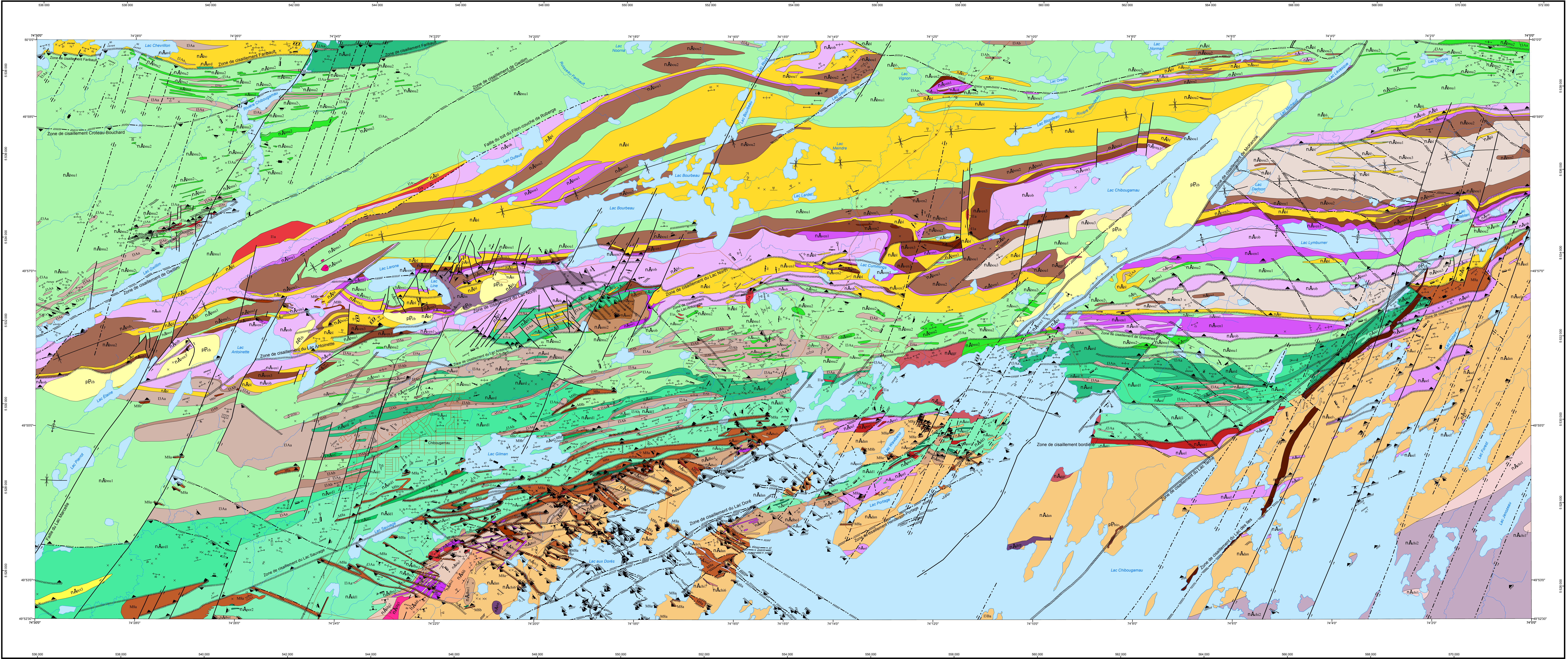


GÉOLOGIE DE LA RÉGION DE CHIBOUGAMAU



Métadonnées

Surface de référence géodésique : Ellipsoïde GRS 80

Système de référence géodésique : NAD 83 compatible avec le système mondial WGS 84

Projection cartographique : Mercator transverse universelle (MTU), fuseau 18

Longitude d'origine : 74°15'

Latitude d'origine : 0°

0 0,75 1,5 2,25 3 km

1:50 000

Sources

Données

Base de données pour aménagement du territoire (BDAT) échelle 1:50 000

Base de données topographiques et administratives à l'échelle de 1:250 000 (BDTA 250k)

Réalisation

Géologie : François Leduc, Patrick Roy, Patrick Houle, Sophie Turcotte (2016)

References

Allard, G.O. (1976) - DPV 368

Bouchard, G. (1989) - TH 195

Côté-Marcha, G. (2009) - Thèse de doctorat, UQAC

Daigneault, R. (1986) - DPV 85-19

Duquette, G. (1982) - DPV 637

Henry, R.L., Allard, G.O. (1979) - DPV 593

Assistance technique

Stéphane Beauséjour, Julie Sauvageau, Kathleen O'Brien

Production

Ministère de l'Énergie et des Ressources naturelles

Direction générale de Géologie Québec

Diffusion

Ministère de l'Énergie et des Ressources naturelles

Direction de l'information géologique du Québec

Le présent document n'a aucune portée légale.

Dépot légal : Bibliothèque et Archives nationales du Québec

© Gouvernement du Québec, 2^e trimestre 2017

PROVINCE DU SUPÉRIEUR

SOUS-PROVINCE DE L'ABITIBI

NÉOARCHÉEN

PALEOPROTÉROZOÏQUE

Dykes de Biscassod (2167 Ma, Buchan et al., 1993)

Gabbro

Essaim de dykes du Chef (2408 ±3 Ma, Ciborowski et al., 2014)

Gabbro, gabbro quartzifère

Formation de Chibougamau

Arkose, conglomérat polygénique et claystone

Intrusion de composition mafique à ultramafique

Suite intrusive de Cummings

Filon-couche de Bourbeau (2716,7 ±10,4 Ma, Mortensen, 1993)

Ferrogabbro et ferrodiorite quartzifères à structure granophyrique

Diorite et gabbro quartzifère

Gabbro et leucogabbro

Gabbro quartzifère

Gabbro riche en quartz granophyrique

Filon-couche de Ventres

Gabbro granophyrique, leucogabbro

Gabbro oligitique

Péridotite, webstérite, pyroxénite

Filon-couche de Roberge

Péridotite, gabbro, pyroxénite et diorite

Filon-couche de Smith

Gabbro et diorite quartzifère

Gabbro et gabbrotonrite

Clinopyroxénite

Suite intrusive du Lac Doré

Unité supérieure

zone de bordure du Lac Doré

Zone d'albitisation à sidérite avec localement pyrite, chalcoppyrite et talc

Pyroxénite

zone granophyrique du Lac Doré (2728,0 ±1,3 Ma, Mortensen, 1993)

Webstérite

Unité inférieure

zone filite (2728,3 ±1,2-1,1 Ma)

Durite, durite à magnétite, péridotite, pyroxénite, gabbro, à magnétite et magnétite variassière

zone de ferrodiorite

Diorite, gabbro, pyroxénite

Unité inférieure

sous-zone péridotitique

Péridotite, pyroxénite et gabbro

zone anorthositique

Anorthosite, gabbro

Groupe de Roy

Formation de Bordelieu

Arénite felsopathique, arkose, mudstone, conglomérat polygénique et tuf à lapilli de composition intermédiaire

Formation de Blondeau (<271 ±3 Ma, Leduc et al., 2012)

Volcanoclastiques felsiques, rhyolite, basalte variés, basalte andésitique, mudstone graphitique, mudstone et conglomérat

Formation de Brunau (2724 ±1,2 Ma, Davis et al., 2014)

Basalte et basalte andésitique variés

Roche volcanoclastique de composition andésitique

Basalte et basalte andésitique, amphibolite

Formation de Waconichi

Membre d'Allard (2728,7 ±0,7 Ma, Leduc et al., 2011)

Roche volcanoclastique de composition basaltique à dacitique, andésite à dacite, méasidiments laminés, chert, exhalite

Andésite, dacite

Membre de Portage

Roche volcanoclastique de composition intermédiaire à felsique

Formation de fer de type Algoma (focales à carbonate sidérite et à magnétite dominantes)

Membre de Scott (2728,2 ±0,8 Ma, Leduc et al., 2011)

Dacite

Formation d'Obatogamau

Membre de David

Bèche de coulée et hyaloclastite andésitiques

Basalte andésitique

PROTÉROZOÏQUE

Dyke de diabase et de gabbro

NÉOARCHÉEN

Intrusion felsique à phénocrastes de plagioclase ou à phénocrastes de plagioclase et de quartz

Gabbro à clinopyroxène-tremolite-actinolite et localement pyroxénite

Gabbro à chlorite-hornblende + quartz

Schiste à séricite, chlorite, ankerite avec localement sidérite, chloritoidite, carbonate, pyrite, chalcoppyrite

Schiste à chlorite avec localement séricite, carbonate, sidérite, pyrite, chalcoppyrite

Les symboles et abréviations utilisés sur cette carte sont décrits dans la publication QV 2014-05 du ministère de l'Énergie et des Ressources naturelles.

32G16-200-0201, 0202

RG 2015-03-C001

Carte de rapport RG 2015-03

Pour obtenir les données les plus récentes concernant cette région, nous vous recommandons de consulter les produits géologiques du Système d'information géologique du Québec (SIGÉOM)

Localisation

2021-000-0101 2021-000-0102 2024-000-0101

2015-000-0001 2015-000-0002 2015-000-0003

2021-000-0101 2021-000-0102 2015-000-0101

SIGÉOM

Système d'information géologique du Québec

Énergie et Ressources naturelles

Québec